

Laserová technika 2

Aktivní prostředí

Šíření stacionární rovinné vlny v aktivním prostředí

Jan Šulc

Katedra fyzikální elektroniky
České vysoké učení technické
jan.sulc@fifi.cvut.cz

16. listopadu 2022

1. Poloklasická teorie šíření rezonančního záření dvouhladinovým prostředím
2. Šíření stacionární rovinné vlny v aktivním prostředí
3. Šíření optických impulsů v aktivním prostředí
4. Laser v aproximaci rychlostních rovnic
5. Rychlostní rovnice pro Q-spínaný laser
6. Koherentní šíření impulzu a zesílená spontánní emise

Záření – elektromagnetická vlna, popisují MR klasicky

Záření – elektromagnetická vlna, popisují MR klasicky

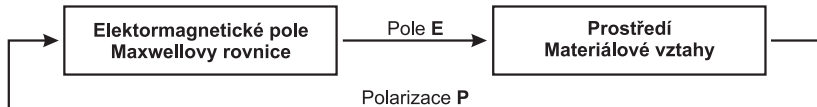
Prostředí – soubor kvantových soustav, popisuje SR kvantově (diskrétní systém hladin, vlnová funkce, 3 procesy interakce, změna energie → změna konfigurace → změna dipólového momentu)

Interakce rezonančního záření s prostředím

Záření – elektromagnetická vlna, popisují MR klasicky

Prostředí – soubor kvantových soustav, popisuje SR kvantově (diskrétní systém hladin, vlnová funkce, 3 procesy interakce, změna energie → změna konfigurace → změna dipólového momentu)

Interakce záření s hmotou – prostřednictvím polarizace prostředí (dipólového momentu elementárních KS)



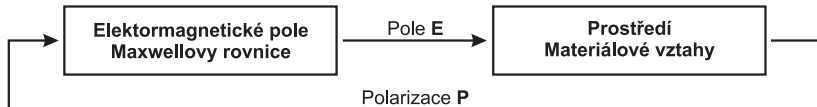
Pole klasicky + prostředí kvantově → poloklasický popis

Interakce rezonančního záření s prostředím

Záření – elektromagnetická vlna, popisují MR klasicky

Prostředí – soubor kvantových soustav, popisuje SR kvantově (diskrétní systém hladin, vlnová funkce, 3 procesy interakce, změna energie → změna konfigurace → změna dipólového momentu)

Interakce záření s hmotou – prostřednictvím polarizace prostředí (dipólového momentu elementárních KS)



Pole klasicky + prostředí kvantově → poloklasický popis

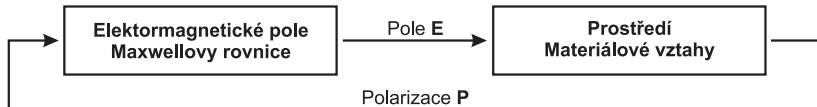
Kvantová soustava – dvouhladinový model, E_1 , E_2

Interakce rezonančního záření s prostředím

Záření – elektromagnetická vlna, popisují MR klasicky

Prostředí – soubor kvantových soustav, popisuje SR kvantově (diskrétní systém hladin, vlnová funkce, 3 procesy interakce, změna energie → změna konfigurace → změna dipólového momentu)

Interakce záření s hmotou – prostřednictvím polarizace prostředí (dipólového momentu elementárních KS)



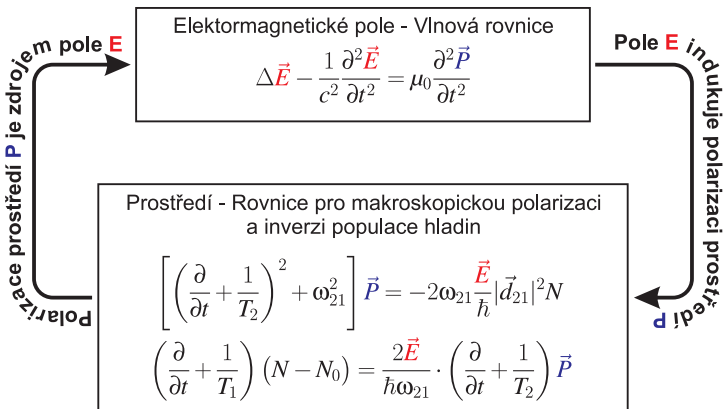
Pole klasicky + prostředí kvantově → poloklasický popis

Kvantová soustava – dvouhladinový model, E_1 , E_2

Rezonanční záření – frekvence v rezonanci s kvantovým přechodem (Bohrův vztah)

$$\omega_{21} = \frac{E_2 - E_1}{\hbar}$$

Rovnice poloklasické teorie interakce látky a záření



\vec{E}	Elmag. pole	T_1	Relaxace inverze populace hladin
\vec{P}	Makroskopická polarizace	T_2	Relaxace makroskopické polarizace
N	Inverze populace hladin	ω_{21}	Rezonanční frekvence
N_0	Inverze populace hladin bez vnějšího pole	$ \vec{d}_{21} $	Velikost dipólového momentu

Stacionární signál – monochromatické elektromagnetické pole, jehož amplituda i fáze jsou funkcemi jen prostorových souřadnic.

Šíření stacionárních signálů v rezonančním prostředí

Stacionární signál – monochromatické elektromagnetické pole, jehož amplituda i fáze jsou funkcemi jen prostorových souřadnic.

Disperzní prostředí – rychlost šíření záření v tomto prostředí závisí na frekvenci. Disperze bývá popisována závislostí susceptibility χ na kruhové frekvenci ω .

Šíření stacionárních signálů v rezonančním prostředí

Stacionární signál – monochromatické elektromagnetické pole, jehož amplituda i fáze jsou funkcemi jen prostorových souřadnic.

Disperzní prostředí – rychlost šíření záření v tomto prostředí závisí na frekvenci. Disperze bývá popisována závislostí susceptibility χ na kruhové frekvenci ω .

- ▶ Homogenní, lineární a isotropní prostředí:

$$\vec{P} = \varepsilon_0 \chi \vec{E},$$

$$\Delta \vec{E} - \frac{1 + \chi}{c_0^2} \frac{\partial^2 \vec{E}}{\partial t^2} = 0,$$

Šíření stacionárních signálů v rezonančním prostředí

Stacionární signál – monochromatické elektromagnetické pole, jehož amplituda i fáze jsou funkcemi jen prostorových souřadnic.

Disperzní prostředí – rychlost šíření záření v tomto prostředí závisí na frekvenci. Disperze bývá popisována závislostí susceptibility χ na kruhové frekvenci ω .

- ▶ Homogenní, lineární a isotropní prostředí:

$$\vec{P} = \varepsilon_0 \chi \vec{E},$$

$$\Delta \vec{E} - \frac{1 + \chi}{c_0^2} \frac{\partial^2 \vec{E}}{\partial t^2} = 0,$$

- ▶ Fázová rychlost vlny

$$v = \frac{c_0}{\sqrt{1 + \chi}}$$

Šíření stacionárních signálů v rezonančním prostředí

Stacionární signál – monochromatické elektromagnetické pole, jehož amplituda i fáze jsou funkcemi jen prostorových souřadnic.

Disperzní prostředí – rychlost šíření záření v tomto prostředí závisí na frekvenci. Disperze bývá popisována závislostí susceptibility χ na kruhové frekvenci ω .

- ▶ Homogenní, lineární a isotropní prostředí:

$$\vec{P} = \varepsilon_0 \chi \vec{E},$$

$$\Delta \vec{E} - \frac{1 + \chi}{c_0^2} \frac{\partial^2 \vec{E}}{\partial t^2} = 0,$$

- ▶ Fázová rychlost vlny

$$v = \frac{c_0}{\sqrt{1 + \chi}}$$

- ▶ Index lomu

$$n_{ref} = \sqrt{1 + \chi}$$

- ▶ Hledáme výraz pro polarizaci ve tvaru $\vec{P} = \epsilon_0 \chi \vec{E}$. Výchozí rovnice:

$$\left[\left(\frac{\partial}{\partial t} + \frac{1}{T_2} \right)^2 + \omega_{21}^2 \right] \vec{P} = -2\omega_{21} \frac{\vec{E}}{\hbar} |\vec{d}_{21}|^2 N$$

$$\left(\frac{\partial}{\partial t} + \frac{1}{T_1} \right) (N - N_0) = \frac{2\vec{E}}{\hbar\omega_{21}} \cdot \left(\frac{\partial}{\partial t} + \frac{1}{T_2} \right) \vec{P}$$

- ▶ Hledáme výraz pro polarizaci ve tvaru $\vec{P} = \epsilon_0 \chi \vec{E}$. Výchozí rovnice:

$$\left[\left(\frac{\partial}{\partial t} + \frac{1}{T_2} \right)^2 + \omega_{21}^2 \right] \vec{P} = -2\omega_{21} \frac{\vec{E}}{\hbar} |\vec{d}_{21}|^2 N$$

$$\left(\frac{\partial}{\partial t} + \frac{1}{T_1} \right) (N - N_0) = \frac{2\vec{E}}{\hbar\omega_{21}} \cdot \left(\frac{\partial}{\partial t} + \frac{1}{T_2} \right) \vec{P}$$

- ▶ Uvažujeme šíření stacionárního harmonického signálu s kruhovou frekvencí ω ve směru osy z:

$$\vec{E} = \vec{E}_0(z, \omega) e^{i\omega t}, \quad \vec{P} = \vec{P}_0(z, \omega) e^{i\omega t}$$

- ▶ Hledáme výraz pro polarizaci ve tvaru $\vec{P} = \varepsilon_0 \chi \vec{E}$. Výchozí rovnice:

$$\left[\left(\frac{\partial}{\partial t} + \frac{1}{T_2} \right)^2 + \omega_{21}^2 \right] \vec{P} = -2\omega_{21} \frac{\vec{E}}{\hbar} |\vec{d}_{21}|^2 N$$

$$\left(\frac{\partial}{\partial t} + \frac{1}{T_1} \right) (N - N_0) = \frac{2\vec{E}}{\hbar\omega_{21}} \cdot \left(\frac{\partial}{\partial t} + \frac{1}{T_2} \right) \vec{P}$$

- ▶ Uvažujeme šíření stacionárního harmonického signálu s kruhovou frekvencí ω ve směru osy z :

$$\vec{E} = \vec{E}_0(z, \omega) e^{i\omega t}, \quad \vec{P} = \vec{P}_0(z, \omega) e^{i\omega t}$$

- ▶ Uvažujeme slabý signál $\vec{E}_0 \Rightarrow$ bude malá i polarizace $\vec{P}_0 \Rightarrow$
 $(N - N_0) \propto \vec{E}_0 \vec{P}_0 \rightarrow 0$, tj. inverze populace hladin N se blíží hodnotě N_0

- ▶ Hledáme výraz pro polarizaci ve tvaru $\vec{P} = \varepsilon_0 \chi \vec{E}$. Výchozí rovnice:

$$\left[\left(\frac{\partial}{\partial t} + \frac{1}{T_2} \right)^2 + \omega_{21}^2 \right] \vec{P} = -2\omega_{21} \frac{\vec{E}}{\hbar} |\vec{d}_{21}|^2 N$$

$$\left(\frac{\partial}{\partial t} + \frac{1}{T_1} \right) (N - N_0) = \frac{2\vec{E}}{\hbar\omega_{21}} \cdot \left(\frac{\partial}{\partial t} + \frac{1}{T_2} \right) \vec{P}$$

- ▶ Uvažujeme šíření stacionárního harmonického signálu s kruhovou frekvencí ω ve směru osy z :

$$\vec{E} = \vec{E}_0(z, \omega) e^{i\omega t}, \quad \vec{P} = \vec{P}_0(z, \omega) e^{i\omega t}$$

- ▶ Uvažujeme slabý signál $\vec{E}_0 \Rightarrow$ bude malá i polarizace $\vec{P}_0 \Rightarrow$
 $(N - N_0) \propto \vec{E}_0 \vec{P}_0 \rightarrow 0$, tj. inverze populace hladin N se blíží hodnotě N_0
- ▶ Odezvu prostředí popisuje linearizovaná rovnice pro polarizaci:

$$\left[\left(\frac{\partial}{\partial t} + \frac{1}{T_2} \right)^2 + \omega_{21}^2 \right] \vec{P} \doteq -2\omega_{21} \frac{\vec{E}}{\hbar} |\vec{d}_{21}|^2 N_0$$

- ▶ Hledáme výraz pro polarizaci ve tvaru $\vec{P} = \epsilon_0 \chi \vec{E}$. Výchozí rovnice:

$$\left[\left(\frac{\partial}{\partial t} + \frac{1}{T_2} \right)^2 + \omega_{21}^2 \right] \vec{P} = -2\omega_{21} \frac{\vec{E}}{\hbar} |\vec{d}_{21}|^2 N$$

$$\left(\frac{\partial}{\partial t} + \frac{1}{T_1} \right) (N - N_0) = \frac{2\vec{E}}{\hbar\omega_{21}} \cdot \left(\frac{\partial}{\partial t} + \frac{1}{T_2} \right) \vec{P}$$

- ▶ Uvažujeme šíření stacionárního harmonického signálu s kruhovou frekvencí ω ve směru osy z:

$$\vec{E} = \vec{E}_0(\mathbf{z}, \omega) e^{i\omega t}, \quad \vec{P} = \vec{P}_0(\mathbf{z}, \omega) e^{i\omega t}$$

- ▶ Uvažujeme slabý signál $\vec{E}_0 \Rightarrow$ bude malá i polarizace $\vec{P}_0 \Rightarrow$
 $(N - N_0) \propto \vec{E}_0 \vec{P}_0 \rightarrow 0$, tj. inverze populace hladin N se blíží hodnotě N_0
- ▶ Odezvu prostředí popisuje linearizovaná rovnice pro polarizaci:

$$\left[\left(\frac{\partial}{\partial t} + \frac{1}{T_2} \right)^2 + \omega_{21}^2 \right] \vec{P} \doteq -2\omega_{21} \frac{\vec{E}}{\hbar} |\vec{d}_{21}|^2 N_0$$

- ▶ Provedeme derivace na levé straně ($\partial \vec{P} / \partial t = i\omega \vec{P}$):

$$\left[\left(\frac{\partial}{\partial t} + \frac{1}{T_2} \right)^2 + \omega_{21}^2 \right] \vec{P} = \left[\frac{\partial^2}{\partial t^2} + \frac{2}{T_2} \frac{\partial}{\partial t} + \frac{1}{T_2^2} + \omega_{21}^2 \right] \vec{P} = \left[\omega_{21}^2 - \omega^2 + \frac{2i\omega}{T_2} + \frac{1}{T_2^2} \right] \vec{P}$$

- ▶ Hledáme výraz pro polarizaci ve tvaru $\vec{P} = \epsilon_0 \chi \vec{E}$. Máme:

$$\left[\omega_{21}^2 - \omega^2 + \frac{2i\omega}{T_2} + \frac{1}{T_2^2} \right] \vec{P} \doteq -2\omega_{21} \frac{\vec{E}}{\hbar} |\bar{d}_{21}|^2 N_0$$

- ▶ Hledáme výraz pro polarizaci ve tvaru $\vec{P} = \epsilon_0 \chi \vec{E}$. Máme:

$$\left[\omega_{21}^2 - \omega^2 + \frac{2i\omega}{T_2} + \frac{1}{T_2^2} \right] \vec{P} \doteq -2\omega_{21} \frac{\vec{E}}{\hbar} |\vec{d}_{21}|^2 N_0$$

- ▶ Pro susceptibilitu dostaneme:

$$\chi(\omega) = \frac{\vec{P}_0(\mathbf{z}, \omega)}{\epsilon_0 \vec{E}_0(\mathbf{z}, \omega)} \doteq -\frac{2}{\hbar \epsilon_0} \frac{\omega_{21} |\vec{d}_{21}|^2 N_0}{\omega_{21}^2 - \omega^2 + \frac{2i\omega}{T_2} + \frac{1}{T_2^2}}$$

- ▶ Hledáme výraz pro polarizaci ve tvaru $\vec{P} = \epsilon_0 \chi \vec{E}$. Máme:

$$\left[\omega_{21}^2 - \omega^2 + \frac{2i\omega}{T_2} + \frac{1}{T_2^2} \right] \vec{P} \doteq -2\omega_{21} \frac{\vec{E}}{\hbar} |\vec{d}_{21}|^2 N_0$$

- ▶ Pro susceptibilitu dostaneme:

$$\chi(\omega) = \frac{\vec{P}_0(\mathbf{z}, \omega)}{\epsilon_0 \vec{E}_0(\mathbf{z}, \omega)} \doteq -\frac{2}{\hbar \epsilon_0} \frac{\omega_{21} |\vec{d}_{21}|^2 N_0}{\omega_{21}^2 - \omega^2 + \frac{2i\omega}{T_2} + \frac{1}{T_2^2}}$$

- ▶ Susceptibilita $\chi(\omega)$ – komplexní, frekvenčně závislá veličina

- ▶ Hledáme výraz pro polarizaci ve tvaru $\vec{P} = \epsilon_0 \chi \vec{E}$. Máme:

$$\left[\omega_{21}^2 - \omega^2 + \frac{2i\omega}{T_2} + \frac{1}{T_2^2} \right] \vec{P} \doteq -2\omega_{21} \frac{\vec{E}}{\hbar} |\vec{d}_{21}|^2 N_0$$

- ▶ Pro susceptibilitu dostaneme:

$$\chi(\omega) = \frac{\vec{P}_0(\mathbf{z}, \omega)}{\epsilon_0 \vec{E}_0(\mathbf{z}, \omega)} \doteq -\frac{2}{\hbar \epsilon_0} \frac{\omega_{21} |\vec{d}_{21}|^2 N_0}{\omega_{21}^2 - \omega^2 + \frac{2i\omega}{T_2} + \frac{1}{T_2^2}}$$

- ▶ Susceptibilita $\chi(\omega)$ – komplexní, frekvenčně závislá veličina
- ▶ T.j. dvouhladinové rezonanční prostředí je disperzní a nelineární.

- ▶ Hledáme výraz pro polarizaci ve tvaru $\vec{P} = \epsilon_0 \chi \vec{E}$. Máme:

$$\left[\omega_{21}^2 - \omega^2 + \frac{2i\omega}{T_2} + \frac{1}{T_2^2} \right] \vec{P} \doteq -2\omega_{21} \frac{\vec{E}}{\hbar} |\vec{d}_{21}|^2 N_0$$

- ▶ Pro susceptibilitu dostaneme:

$$\chi(\omega) = \frac{\vec{P}_0(\mathbf{z}, \omega)}{\epsilon_0 \vec{E}_0(\mathbf{z}, \omega)} \doteq -\frac{2}{\hbar \epsilon_0} \frac{\omega_{21} |\vec{d}_{21}|^2 N_0}{\omega_{21}^2 - \omega^2 + \frac{2i\omega}{T_2} + \frac{1}{T_2^2}}$$

- ▶ Susceptibilita $\chi(\omega)$ – komplexní, frekvenčně závislá veličina
- ▶ T.j. dvouhladinové rezonanční prostředí je disperzní a nelineární.
- ▶ Pro velké blízké frekvence ω_{21} a ω ($\omega_{21} + \omega \doteq 2\omega_{21}$, $\omega - \omega_{21} = \Delta\omega$):

$$\chi(\Delta\omega) \doteq -\frac{\frac{|\vec{d}_{21}|^2 N_0}{\hbar \epsilon_0}}{-\Delta\omega + \frac{i}{T_2} + \frac{1}{2T_2^2 \omega_{21}}}$$

- ▶ Hledáme výraz pro polarizaci ve tvaru $\vec{P} = \epsilon_0 \chi \vec{E}$. Máme:

$$\left[\omega_{21}^2 - \omega^2 + \frac{2i\omega}{T_2} + \frac{1}{T_2^2} \right] \vec{P} \doteq -2\omega_{21} \frac{\vec{E}}{\hbar} |\vec{d}_{21}|^2 N_0$$

- ▶ Pro susceptibilitu dostaneme:

$$\chi(\omega) = \frac{\vec{P}_0(\mathbf{z}, \omega)}{\epsilon_0 \vec{E}_0(\mathbf{z}, \omega)} \doteq -\frac{2}{\hbar \epsilon_0} \frac{\omega_{21} |\vec{d}_{21}|^2 N_0}{\omega_{21}^2 - \omega^2 + \frac{2i\omega}{T_2} + \frac{1}{T_2^2}}$$

- ▶ Susceptibilita $\chi(\omega)$ – komplexní, frekvenčně závislá veličina
- ▶ T.j. dvouhladinové rezonanční prostředí je disperzní a nelineární.
- ▶ Pro velké blízké frekvence ω_{21} a ω ($\omega_{21} + \omega \doteq 2\omega_{21}$, $\omega - \omega_{21} = \Delta\omega$):

$$\chi(\Delta\omega) \doteq -\frac{\frac{|\vec{d}_{21}|^2 N_0}{\hbar \epsilon_0}}{-\Delta\omega + \frac{i}{T_2} + \frac{1}{2T_2^2\omega_{21}}}$$

- ▶ Nová proměnná $\Delta\omega =$ rozladění od rezonance ($\omega_{21} = \omega$).

- ▶ Pro susceptibilitu máme:

$$\chi(\Delta\omega) \doteq -\frac{\frac{|\bar{d}_{21}|^2 N_0}{\hbar \epsilon_0}}{-\Delta\omega + \frac{i}{T_2} + \frac{1}{2T_2^2 \omega_{21}}}$$

- ▶ Pro susceptibilitu máme:

$$\chi(\Delta\omega) \doteq -\frac{\frac{|\bar{d}_{21}|^2 N_0}{\hbar \varepsilon_0}}{-\Delta\omega + \frac{i}{T_2} + \frac{1}{2T_2^2 \omega_{21}}}$$

- ▶ Předpokládáme $T_2 \gg \omega_{21}^{-1}$ ($T_2 \sim 10^{-9}$ s, $\omega_{21} \sim 10^{15}$ s $^{-1}$)

$$\chi(\Delta\omega) \doteq \frac{\frac{|\bar{d}_{21}|^2 N_0}{\hbar \varepsilon_0}}{\Delta\omega - \frac{i}{T_2}}$$

- ▶ Pro susceptibilitu máme:

$$\chi(\Delta\omega) \doteq -\frac{\frac{|\bar{d}_{21}|^2 N_0}{\hbar \epsilon_0}}{-\Delta\omega + \frac{i}{T_2} + \frac{1}{2T_2^2 \omega_{21}}}$$

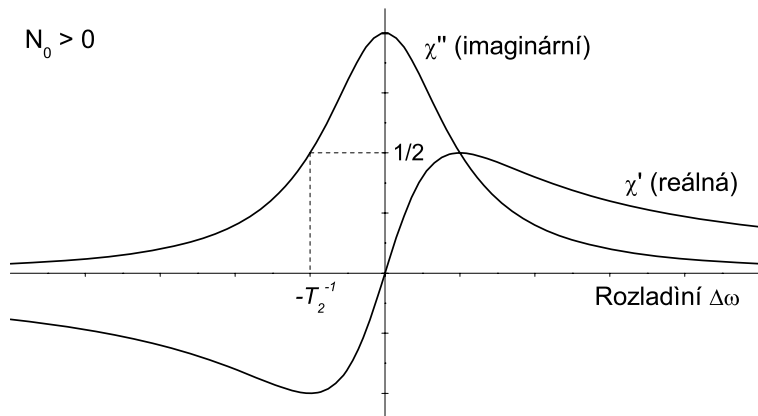
- ▶ Předpokládáme $T_2 \gg \omega_{21}^{-1}$ ($T_2 \sim 10^{-9}$ s, $\omega_{21} \sim 10^{15}$ s $^{-1}$)

$$\chi(\Delta\omega) \doteq \frac{\frac{|\bar{d}_{21}|^2 N_0}{\hbar \epsilon_0}}{\Delta\omega - \frac{i}{T_2}}$$

- ▶ Susceptibilitu rozložíme na reálnou a imaginární složku:

$$\chi(\Delta\omega) = \chi'(\Delta\omega) + i\chi''(\Delta\omega)$$

$$\chi'(\Delta\omega) = \frac{\frac{|\bar{d}_{21}|^2 N_0}{\hbar \epsilon_0} \Delta\omega}{(\Delta\omega)^2 + \left(\frac{1}{T_2}\right)^2}, \quad \chi''(\Delta\omega) = \frac{\frac{|\bar{d}_{21}|^2 N_0}{\hbar \epsilon_0} \frac{1}{T_2}}{(\Delta\omega)^2 + \left(\frac{1}{T_2}\right)^2}.$$



$$\chi'(\Delta\omega) = \frac{\frac{|\bar{d}_{21}|^2 N_0}{\hbar \epsilon_0} \Delta\omega}{(\Delta\omega)^2 + \left(\frac{1}{T_2}\right)^2}, \quad \chi''(\Delta\omega) = \frac{\frac{|\bar{d}_{21}|^2 N_0}{\hbar \epsilon_0} \frac{1}{T_2}}{(\Delta\omega)^2 + \left(\frac{1}{T_2}\right)^2}.$$

- Obecný popis šíření udává vlnová rovnice

$$\Delta \vec{E} - \frac{1}{c_0^2} \frac{\partial^2 \vec{E}}{\partial t^2} = \mu_0 \varepsilon_0 \chi \frac{\partial^2 \vec{E}}{\partial t^2}$$

- ▶ Obecný popis šíření udává vlnová rovnice

$$\Delta \vec{E} - \frac{1}{c_0^2} \frac{\partial^2 \vec{E}}{\partial t^2} = \mu_0 \varepsilon_0 \chi \frac{\partial^2 \vec{E}}{\partial t^2}$$

- ▶ Šíření slabého **harmonického signálu** je popsáno řešením homogenní rovnice:

$$\Delta \vec{E} + \frac{\omega^2}{c_0^2} \vec{E} = -\chi \frac{\omega^2}{c_0^2} \vec{E}$$

- ▶ Obecný popis šíření udává vlnová rovnice

$$\Delta \vec{E} - \frac{1}{c_0^2} \frac{\partial^2 \vec{E}}{\partial t^2} = \mu_0 \varepsilon_0 \chi \frac{\partial^2 \vec{E}}{\partial t^2}$$

- ▶ Šíření slabého **harmonického signálu** je popsáno řešením homogenní rovnice:

$$\Delta \vec{E} + \frac{\omega^2}{c_0^2} \vec{E} = -\chi \frac{\omega^2}{c_0^2} \vec{E}$$

- ▶ Předpokládáme řešení ve tvaru rovinné lineárně polarizované vlny:

$$\vec{E} = \vec{i}_y E_0 \exp [i(\omega t - kz + \Phi)]$$

- ▶ Obecný popis šíření udává vlnová rovnice

$$\Delta \vec{E} - \frac{1}{c_0^2} \frac{\partial^2 \vec{E}}{\partial t^2} = \mu_0 \varepsilon_0 \chi \frac{\partial^2 \vec{E}}{\partial t^2}$$

- ▶ Šíření slabého **harmonického signálu** je popsáno řešením homogenní rovnice:

$$\Delta \vec{E} + \frac{\omega^2}{c_0^2} \vec{E} = -\chi \frac{\omega^2}{c_0^2} \vec{E}$$

- ▶ Předpokládáme řešení ve tvaru rovinné lineárně polarizované vlny:

$$\vec{E} = \vec{i}_y E_0 \exp [i(\omega t - kz + \Phi)]$$

- ▶ Nutná podmínka pro existenci řešení v tomto tvaru, tzv. *disperzní vztah*:

$$-k^2 + \frac{\omega^2}{c^2} (1 + \chi' + i\chi'') = 0$$

- ▶ Obecný popis šíření udává vlnová rovnice

$$\Delta \vec{E} - \frac{1}{c_0^2} \frac{\partial^2 \vec{E}}{\partial t^2} = \mu_0 \varepsilon_0 \chi \frac{\partial^2 \vec{E}}{\partial t^2}$$

- ▶ Šíření slabého **harmonického signálu** je popsáno řešením homogenní rovnice:

$$\Delta \vec{E} + \frac{\omega^2}{c_0^2} \vec{E} = -\chi \frac{\omega^2}{c_0^2} \vec{E}$$

- ▶ Předpokládáme řešení ve tvaru rovinné lineárně polarizované vlny:

$$\vec{E} = \vec{i}_y E_0 \exp [i(\omega t - kz + \Phi)]$$

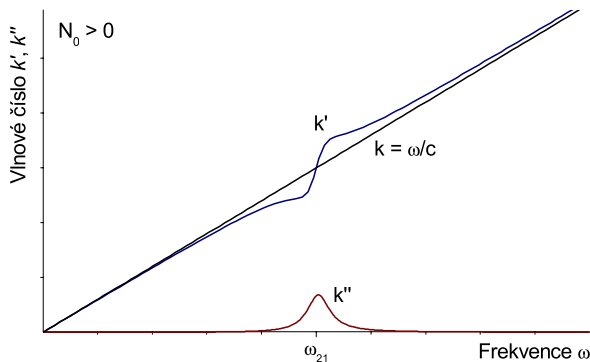
- ▶ Nutná podmínka pro existenci řešení v tomto tvaru, tzv. *disperzní vztah*:

$$-k^2 + \frac{\omega^2}{c^2} (1 + \chi' + i\chi'') = 0$$

- ▶ k je obecně komplexní číslo $k = k' + ik''$, pro $k' \gg k''$:

$$k' = \frac{\omega}{c} \sqrt{1 + \chi'}, \quad k'' = \frac{1}{2} \frac{\omega}{c} \frac{\chi''}{\sqrt{1 + \chi'}}.$$

Šíření rovinné vlny – disperzní vztah



$$k' = \frac{\omega}{c} \sqrt{1 + \chi'}, \quad k'' = \frac{1}{2} \frac{\omega}{c} \frac{\chi''}{\sqrt{1 + \chi'}}$$

$$\chi'(\omega) = \frac{\frac{|\bar{d}_{21}|^2 N_0}{\hbar \epsilon_0} \Delta\omega}{(\Delta\omega)^2 + \left(\frac{1}{T_2}\right)^2}, \quad \chi''(\omega) = \frac{\frac{|\bar{d}_{21}|^2 N_0}{\hbar \epsilon_0} \frac{1}{T_2}}{(\Delta\omega)^2 + \left(\frac{1}{T_2}\right)^2}.$$

- ▶ Komplexní intenzita elektrického pole:

$$\vec{E} = \vec{i}_y E_0 e^{k''z} e^{i(\omega t - k'z + \Phi)}$$

- ▶ Komplexní intenzita elektrického pole:

$$\vec{E} = \vec{i}_y E_0 e^{k''z} e^{i(\omega t - k'z + \Phi)}$$

- ▶ Příslušné reálné pole:

$$\vec{E}^{(r)} = \vec{i}_y E_0 e^{k''z} \cos(\omega t - k'z + \Phi)$$

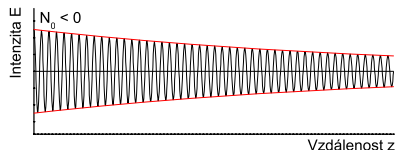
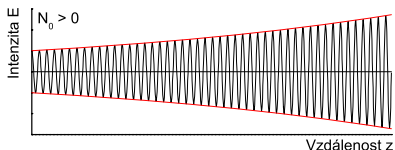
- ▶ Komplexní intenzita elektrického pole:

$$\vec{E} = \vec{i}_y E_0 e^{k''z} e^{i(\omega t - k'z + \Phi)}$$

- ▶ Příslušné reálné pole:

$$\vec{E}^{(r)} = \vec{i}_y E_0 e^{k''z} \cos(\omega t - k'z + \Phi)$$

- ▶ V závislosti na znaménku k'' (znaménko N_0) amplituda vlny buď exponenciálně vzrůstá (+) nebo klesá (-).



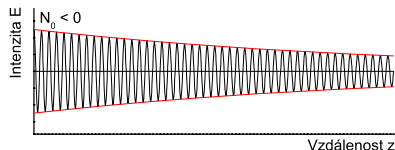
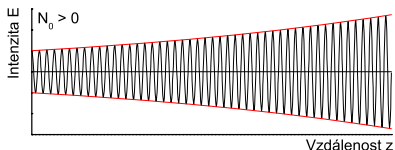
- ▶ Komplexní intenzita elektrického pole:

$$\vec{E} = \vec{i}_y E_0 e^{k''z} e^{i(\omega t - k'z + \Phi)}$$

- ▶ Příslušné reálné pole:

$$\vec{E}^{(r)} = \vec{i}_y E_0 e^{k''z} \cos(\omega t - k'z + \Phi)$$

- ▶ V závislosti na znaménku k'' (znaménko N_0) amplituda vlny buď exponenciálně vzrůstá (+) nebo klesá (-).



- ▶ Plošná hustota výkonu $I = \frac{1}{2} \epsilon_0 \epsilon_0 |\vec{E}|^2$:

$$I(z) = I_0 e^{g_0 z}$$

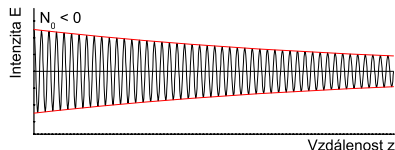
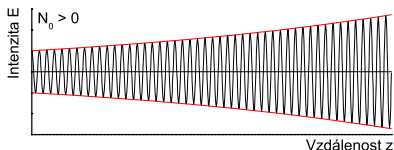
- ▶ Komplexní intenzita elektrického pole:

$$\vec{E} = \vec{i}_y E_0 e^{k''z} e^{i(\omega t - k'z + \Phi)}$$

- ▶ Příslušné reálné pole:

$$\vec{E}^{(r)} = \vec{i}_y E_0 e^{k''z} \cos(\omega t - k'z + \Phi)$$

- ▶ V závislosti na znaménku k'' (znaménko N_0) amplituda vlny buď exponenciálně vzrůstá (+) nebo klesá (-).



- ▶ Plošná hustota výkonu $I = \frac{1}{2} c_0 \epsilon_0 |\vec{E}|^2$:

$$I(z) = I_0 e^{g_0 z}$$

- ▶ I_0 je intenzita záření v rovině $z = 0$ a $g_0 = 2k''$ je součinitel zesílení slabého signálu.

- ▶ Spektrální závislost součinitele zesílení (absorbce):

$$g_0(\omega) = 2k''(\omega) = \frac{\omega_{21} |\vec{d}_{21}|^2 N_0}{\hbar c \epsilon_0} \frac{\frac{1}{T_2}}{(\Delta\omega)^2 + \left(\frac{1}{T_2}\right)^2} = g_0 \frac{\left(\frac{1}{T_2}\right)^2}{(\Delta\omega)^2 + \left(\frac{1}{T_2}\right)^2}$$

- ▶ Spektrální závislost součinitele zesílení (absorbce):

$$g_0(\omega) = 2k''(\omega) = \frac{\omega_{21} |\vec{d}_{21}|^2 N_0}{\hbar c \epsilon_0} \frac{\frac{1}{T_2}}{(\Delta\omega)^2 + \left(\frac{1}{T_2}\right)^2} = g_0 \frac{\left(\frac{1}{T_2}\right)^2}{(\Delta\omega)^2 + \left(\frac{1}{T_2}\right)^2}$$

- ▶ Šířka spektrální čáry \leftrightarrow převrácená hodnota doby relaxace polarizace T_2

- ▶ Spektrální závislost součinitele zesílení (absorbce):

$$g_0(\omega) = 2k''(\omega) = \frac{\omega_{21} |\vec{d}_{21}|^2 N_0}{\hbar c \epsilon_0} \frac{\frac{1}{T_2}}{(\Delta\omega)^2 + \left(\frac{1}{T_2}\right)^2} = g_0 \frac{\left(\frac{1}{T_2}\right)^2}{(\Delta\omega)^2 + \left(\frac{1}{T_2}\right)^2}$$

- ▶ Šířka spektrální čáry \leftrightarrow převrácená hodnota doby relaxace polarizace T_2
- ▶ Přesná rezonance ($\Delta\omega = 0$):

$$g_0 = \frac{\omega_{21} |\vec{d}_{21}|^2}{\hbar c \epsilon_0} N_0 T_2 = \sigma N_0$$

- ▶ Spektrální závislost součinitele zesílení (absorbce):

$$g_0(\omega) = 2k''(\omega) = \frac{\omega_{21} |\vec{d}_{21}|^2 N_0}{\hbar c \epsilon_0} \frac{\frac{1}{T_2}}{(\Delta\omega)^2 + \left(\frac{1}{T_2}\right)^2} = g_0 \frac{\left(\frac{1}{T_2}\right)^2}{(\Delta\omega)^2 + \left(\frac{1}{T_2}\right)^2}$$

- ▶ Šířka spektrální čáry \leftrightarrow převrácená hodnota doby relaxace polarizace T_2
- ▶ Přesná rezonance ($\Delta\omega = 0$):

$$g_0 = \frac{\omega_{21} |\vec{d}_{21}|^2}{\hbar c \epsilon_0} N_0 T_2 = \sigma N_0$$

- ▶ Účinný průřez pro stimulovanou emisi (absorpci):

$$\sigma = \frac{\omega_{21} |\vec{d}_{21}|^2 T_2}{\hbar c \epsilon_0}$$

- ▶ Předpokládáme stacionární harmonickou vlnu a přesnou rezonanci $\omega = \omega_{21}$ vstupující do rezonančního prostředí. Dosadíme do rovnice pro polarizaci:

$$\left[\left(\frac{\partial}{\partial t} + \frac{1}{T_2} \right)^2 + \omega_{21}^2 \right] \vec{P} = -2\omega_{21} \frac{\vec{E}}{\hbar} |\vec{d}_{21}|^2 N \quad \Rightarrow \quad \vec{P} = -\frac{2\omega T_2 |\vec{d}_{21}|^2}{\hbar(2i\omega + \frac{1}{T_2})} N \vec{E}$$

- ▶ Předpokládáme stacionární harmonickou vlnu a přesnou rezonanci $\omega = \omega_{21}$ vstupující do rezonančního prostředí. Dosadíme do rovnice pro polarizaci:

$$\left[\left(\frac{\partial}{\partial t} + \frac{1}{T_2} \right)^2 + \omega_{21}^2 \right] \vec{P} = -2\omega_{21} \frac{\vec{E}}{\hbar} |\vec{d}_{21}|^2 N \Rightarrow \vec{P} = -\frac{2\omega T_2 |\vec{d}_{21}|^2}{\hbar (2i\omega + \frac{1}{T_2})} N \vec{E}$$

- ▶ Po dosazení za \vec{P} do rovnice pro inverzi a za předpokladu $\omega \gg \frac{1}{T_2}$:

$$\left(\frac{\partial}{\partial t} + \frac{1}{T_1} \right) (N - N_0) = \frac{2\vec{E}}{\hbar\omega_{21}} \cdot \left(\frac{\partial}{\partial t} + \frac{1}{T_2} \right) \vec{P} \Rightarrow \frac{1}{T_1} (N - N_0) = -\frac{|\vec{d}_{21}|^2}{\hbar^2} T_2 |\vec{E}|^2 N$$

- ▶ Předpokládáme stacionární harmonickou vlnu a přesnou rezonanci $\omega = \omega_{21}$ vstupující do rezonančního prostředí. Dosadíme do rovnice pro polarizaci:

$$\left[\left(\frac{\partial}{\partial t} + \frac{1}{T_2} \right)^2 + \omega_{21}^2 \right] \vec{P} = -2\omega_{21} \frac{\vec{E}}{\hbar} |\vec{d}_{21}|^2 N \Rightarrow \vec{P} = -\frac{2\omega T_2 |\vec{d}_{21}|^2}{\hbar(2i\omega + \frac{1}{T_2})} N \vec{E}$$

- ▶ Po dosazení za \vec{P} do rovnice pro inverzi a za předpokladu $\omega \gg \frac{1}{T_2}$:

$$\left(\frac{\partial}{\partial t} + \frac{1}{T_1} \right) (N - N_0) = \frac{2\vec{E}}{\hbar\omega_{21}} \cdot \left(\frac{\partial}{\partial t} + \frac{1}{T_2} \right) \vec{P} \Rightarrow \frac{1}{T_1} (N - N_0) = -\frac{|\vec{d}_{21}|^2}{\hbar^2} T_2 |\vec{E}|^2 N$$

- ▶ Ustálená hodnota rozdílu populace hladin:

$$N = \frac{N_0}{1 + \frac{|\vec{d}_{21}|^2}{\hbar^2} T_2 T_1 |\vec{E}|^2}$$

- ▶ Předpokládáme stacionární harmonickou vlnu a přesnou rezonanci $\omega = \omega_{21}$ vstupující do rezonančního prostředí. Dosadíme do rovnice pro polarizaci:

$$\left[\left(\frac{\partial}{\partial t} + \frac{1}{T_2} \right)^2 + \omega_{21}^2 \right] \vec{P} = -2\omega_{21} \frac{\vec{E}}{\hbar} |\vec{d}_{21}|^2 N \Rightarrow \vec{P} = -\frac{2\omega T_2 |\vec{d}_{21}|^2}{\hbar(2i\omega + \frac{1}{T_2})} N \vec{E}$$

- ▶ Po dosazení za \vec{P} do rovnice pro inverzi a za předpokladu $\omega \gg \frac{1}{T_2}$:

$$\left(\frac{\partial}{\partial t} + \frac{1}{T_1} \right) (N - N_0) = \frac{2\vec{E}}{\hbar\omega_{21}} \cdot \left(\frac{\partial}{\partial t} + \frac{1}{T_2} \right) \vec{P} \Rightarrow \frac{1}{T_1} (N - N_0) = -\frac{|\vec{d}_{21}|^2}{\hbar^2} T_2 |\vec{E}|^2 N$$

- ▶ Ustálená hodnota rozdílu populace hladin:

$$N = \frac{N_0}{1 + \frac{|\vec{d}_{21}|^2}{\hbar^2} T_2 T_1 |\vec{E}|^2}$$

- ▶ Vztah mezi intenzitou světla a intenzitou elektrického pole:

$$I = \frac{1}{2} c \epsilon_0 |\vec{E}|^2$$

- ▶ Ustálená hodnota rozdílu populace hladin:

$$N = \frac{N_0}{1 + \frac{2|\bar{d}_{21}|^2}{c\epsilon_0\hbar^2} T_2 T_1 I}.$$

- ▶ Ustálená hodnota rozdílu populace hladin:

$$N = \frac{N_0}{1 + \frac{2|\bar{d}_{21}|^2}{c\epsilon_0\hbar^2} T_2 T_1 I}$$

- ▶ Zavedeme **saturační intenzitu** – materiálový parametr

$$I_s = \frac{c}{2} \frac{\hbar^2 \epsilon_0}{|\bar{d}_{21}|^2 T_2 T_1} = \frac{\hbar\omega_{21}}{2\sigma T_1}$$

- ▶ Ustálená hodnota rozdílu populace hladin:

$$N = \frac{N_0}{1 + \frac{2|\bar{d}_{21}|^2}{c\epsilon_0\hbar^2} T_2 T_1 I}$$

- ▶ Zavedeme **saturační intenzitu** – materiálový parametr

$$I_s = \frac{c}{2} \frac{\hbar^2 \epsilon_0}{|\bar{d}_{21}|^2 T_2 T_1} = \frac{\hbar\omega_{21}}{2\sigma T_1},$$

- ▶ Saturace inverze populace hladin

$$N = \frac{N_0}{1 + \frac{I}{I_s}},$$

- ▶ Ustálená hodnota rozdílu populace hladin:

$$N = \frac{N_0}{1 + \frac{2|\bar{d}_{21}|^2}{c\epsilon_0\hbar^2} T_2 T_1 I}.$$

- ▶ Zavedeme **saturační intenzitu** – materiálový parametr

$$I_s = \frac{c}{2} \frac{\hbar^2 \epsilon_0}{|\bar{d}_{21}|^2 T_2 T_1} = \frac{\hbar\omega_{21}}{2\sigma T_1},$$

- ▶ Saturace inverze populace hladin

$$N = \frac{N_0}{1 + \frac{I}{I_s}},$$

- ▶ Saturace zisku (zesílení) je tedy:

$$g = \frac{g_0}{1 + \frac{I}{I_s}}.$$

- ▶ Ustálená hodnota rozdílu populace hladin:

$$N = \frac{N_0}{1 + \frac{2|\bar{d}_{21}|^2}{c\epsilon_0\hbar^2} T_2 T_1 I}$$

- ▶ Zavedeme **saturační intenzitu** – materiálový parametr

$$I_s = \frac{c}{2} \frac{\hbar^2 \epsilon_0}{|\bar{d}_{21}|^2 T_2 T_1} = \frac{\hbar\omega_{21}}{2\sigma T_1},$$

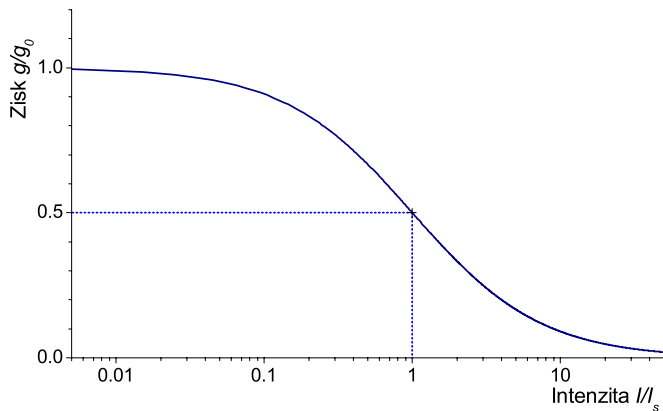
- ▶ Saturace inverze populace hladin

$$N = \frac{N_0}{1 + \frac{I}{I_s}},$$

- ▶ Saturace zisku (zesílení) je tedy:

$$g = \frac{g_0}{1 + \frac{I}{I_s}}.$$

- ▶ Stejně funguje i saturace absorpce ($N_0 < 0$)



- ▶ Signál o intenzitě $I \ll I_s$ je součinitel zesílení roven $\sim g_0$. Signál, jehož intenzita je srovnatelná, nebo podstatně větší než I_s , je zesilován méně.

Záření – elektromagnetická vlna, popisují MR **klasicky**

Záření – elektromagnetická vlna, popisují MR **klasicky**

Prostředí – soubor dvouhladinových **kvantových** soustav, popisuje SR

Záření – elektromagnetická vlna, popisují MR **klasicky**

Prostředí – soubor dvouhladinových **kvantových** soustav, popisuje SR

Rezonanční záření – rezonance s kvantovým přechodem $\omega_{21} = (E_2 - E_1)/\hbar$

Záření – elektromagnetická vlna, popisují MR **klasicky**

Prostředí – soubor dvouhladinových **kvantových** soustav, popisuje SR

Rezonanční záření – rezonance s kvantovým přechodem $\omega_{21} = (E_2 - E_1)/\hbar$

Interakce záření s hmotou – prostřednictvím polarizace prostředí (dipólového momentu elementárních KS)

Záření – elektromagnetická vlna, popisují MR **klasicky**

Prostředí – soubor dvouhladinových **kvantových** soustav, popisuje SR

Rezonanční záření – rezonance s kvantovým přechodem $\omega_{21} = (E_2 - E_1)/\hbar$

Interakce záření s hmotou – prostřednictvím polarizace prostředí (dipólového momentu elementárních KS)

- ▶ **Rezonanční prostředí je disperzní** – susceptibilita (index lomu) je funkcí frekvence

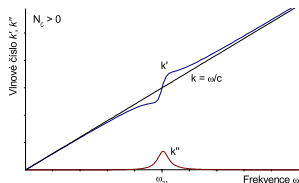
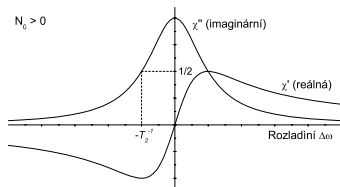
Záření – elektromagnetická vlna, popisují MR **klasicky**







Prostředí – soubor dvouhladinových **kvantových** soustav, popisuje SR

Rezonanční záření – rezonance s kvantovým přechodem $\omega_{21} = (E_2 - E_1)/\hbar$

Interakce záření s hmotou – prostřednictvím polarizace prostředí (dipólového momentu elementárních KS)

- ▶ **Rezonanční prostředí je disperzní** – susceptibilita (index lomu) je funkcí frekvence
- ▶ **Rezonanční prostředí je nelineární** – v blízkosti rezonanční frekvence může v závislosti na obsazení hladin docházet k pohlcení nebo zesílení záření (susceptibilita je komplexní), v závislosti na intenzitě záření dochází k saturaci zesílení (absorpce)



-  VRBOVÁ M., ŠULC J.: *Interakce rezonančního záření s látkou*, Skriptum FJFI ČVUT, Praha, 2006
-  VRBOVÁ M., JELÍNKOVÁ H., GAVRILOV P.: *Úvod do laserové techniky*, Skriptum FJFI ČVUT, Praha, 1994 (<http://space.fjfi.cvut.cz/web/sulc/ulat/>)
-  VRBOVÁ M. a kol.: *Lasery a moderní optika - Oborová encyklopedie*, Prometheus, Praha, 1994
-  LONČAR, G.: *Elektrodynamika I*, Skriptum FJFI ČVUT, Praha, 1990
-  Štol, I.: *Elektrina a magnetismus*, Skriptum FJFI ČVUT, Praha, 1994
-  Přednášky: <http://people.fjfi.cvut.cz/sulcjan1/lt1/>